

УДК 546.881.4:548.73:541.49

КРИСТАЛЛИЧЕСКАЯ СТРУКТУРА И СПЕКТРЫ ЭПР  $(\text{Bu}_4\text{N})_2[\text{V}(\text{dmit})_3]$ Я.С. Фоменко<sup>1</sup>, А.Л. Гущин<sup>1,2</sup>, В.А. Надолинный<sup>1</sup>, П.А. Абрамов<sup>1</sup>, М.Н. Соколов<sup>1,2</sup><sup>1</sup>Институт неорганической химии им. А.В. Николаева СО РАН, Новосибирск, Россия

E-mail: gushchin@niic.nsc.ru

<sup>2</sup>Новосибирский национальный исследовательский государственный университет, Россия

Статья поступила 22 декабря 2016 г.

Трис-хелатный комплекс ванадия(IV)  $(\text{Bu}_4\text{N})_2[\text{V}(\text{dmit})_3]$  получен из  $\text{VCl}_3$  и  $(\text{Bu}_4\text{N})_2[\text{Zn}(\text{dmit})_2]$  ( $\text{dmit}$  = изотритиондитиолат  $\text{C}_3\text{S}_5^{2-}$ ) и охарактеризован методами РСА и масс-спектрометрии. Полученный комплекс кристаллизуется в пространственной группе  $Pna2_1$  и имеет искаженное октаэдрическое окружение вокруг ванадия. Комплекс парамагнитен и дает характерный спектр ЭПР как в растворе, так и в твердом теле. Определены значения  $g$ -факторов и констант сверхтонкого взаимодействия.

DOI: 10.15372/JSC20170515

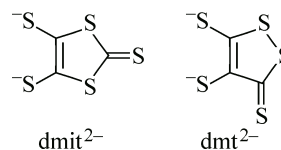
**Ключевые слова:** ванадий, дитиолатные комплексы, кристаллическая структура, спектры ЭПР.

## ВВЕДЕНИЕ

Комплексы переходных металлов с редокс-активными дитиолатными лигандами  $\text{S}_2\text{C}_2\text{R}_2^{2-}$  известны с 1960-х годов и используются для получения проводящих молекулярных материалов [1—8]. Чаще всего образуются бис- и трис-хелатные комплексы. Трис-хелатные комплексы могут иметь октаэдрическое или тригонально-призматическое строение в зависимости от электронной конфигурации центрального атома [9]. Тригонально-призматические комплексы характерны для конфигураций  $d^0$  и  $d^1$ . В качестве примеров можно привести нейтральные комплексы  $\text{Re}(\text{VI})$   $[\text{Re}^{\text{VI}}(\text{S}_2\text{C}_2\text{Ph}_2)_3]$ ,  $\text{Mo}(\text{VI})$   $[\text{Mo}^{\text{VI}}(\text{S}_2\text{C}_2\text{Ph}_2)_3]$  и комплекс  $\text{V}(\text{IV})$   $[\text{V}^{\text{IV}}(\text{S}_2\text{C}_2\text{Ph}_2)_3]$ . С увеличением заселенности  $d$ -орбиталей октаэдрическая геометрия становится более предпочтительной. К примеру,  $\text{Mo}(\text{IV})$  с  $d^2$ -конфигурацией образует октаэдрический комплекс  $[\text{Mo}(\text{S}_2\text{C}_2(\text{CN})_2)_3]^{2-}$ , комплекс  $\text{V}(\text{IV})$   $[\text{V}(\text{S}_2\text{C}_2(\text{CN})_2)_3]^{2-}$  также имеет октаэдрическое строение [10].

Богатые серой дитиолоновые лиганды, такие как 4,5-димеркаптоизотритион ( $\text{dmit}$ ) и 4,5-димеркаптотритион ( $\text{dmt}$ ) (рис. 1), образуют многочисленные бис-хелатные комплексы со многими металлами (Fe, Co, Rh, Cu, Au, Ni, Zn и др.) [11]. Напротив, примеров трис-хелатных комплексов не так много:  $[\text{V}(\text{dmit})_3]^{2-}$  [11—14],  $[\text{Ti}(\text{dmit})_3]^{2-}$  [11, 14],  $[\text{Tl}(\text{dmit})_3]^-$  [11, 12] и  $[\text{In}(\text{dmit})_3]^{3-}$  [11, 12]. Известны также трис-хелатные комплексы  $\text{Mo}(\text{IV})$  состава  $[\text{Mo}_3\text{Q}_7(\text{dmit})_3]^{2-}$

Рис. 1. Строение 4,5-димеркаптоизотритиона ( $\text{dmit}$ ) и 4,5-димеркаптотритиона ( $\text{dmt}$ )



(Q = S, Se), в которых три бидентатных лиганда координируются к трем атомам металла треугольного кластера  $\{Mo_3Q_7\}$  [15—18]. Следует отметить, что для трис-хелатных комплексов с лигандами типа  $dmit^{2-}$  правильный выбор катиона для осаждения представляется очень важным критерием для получения кристаллического образца, в отличие от комплексов с другими дитиолоновыми лигандами.

Комплексы переходных металлов на основе  $dmit^{2-}$  привлекают внимание как строительные блоки для получения проводящих молекулярных материалов (молекулярных металлов) из-за сильной делокализации электронной плотности, широкого диапазона устойчивых степеней окисления, а также склонности к образованию линейных цепочечных структур (бис-хелатные комплексы) и трехмерных сетей (трис-хелатные комплексы) [4, 19]. К примеру, бис-хелатные комплексы Ni(II), Pd(II) и Pt(II) с  $dmit^{2-}$  обладают высокой проводимостью, а комплекс  $[TTF][Ni(dmit)_2]_2$  претерпевает сверхпроводящий переход при 1,62 К и гидростатическом давлении 7 кбар. Использование трехмерных строительных блоков открывает новые перспективы для синтеза молекулярных проводников [20].

Для комплексов ванадия с  $dmit^{2-}$  известны трис-хелатные комплексы с катионами тетрабутиламмония ( $Bu_4N$ , TBA) [12, 13], бис-N-метилакридиния (NMA) [13], N-метилфенанзиния (NMP) [13], бис-(этилендитио)тетратиофульвалена (ET) [13], тетраметилтетраселенофульвалена (TMTSF) [20] и тетрафенилфосфония ( $Ph_4P$ ) [14]. Кроме того, описаны комплексы с металлсодержащими катионами:  $[Cr_2Fe][V(dmit)_3]$ ,  $[Cr_2Ni][V(dmit)_3]$ ,  $Fe[V(dmit)_3] \cdot 3H_2O$ ,  $Co[V(dmit)_3] \cdot 3H_2O$  [21]. При этом кристаллическая структура определена лишь для комплексов  $(NMP)_2[V(dmit)_3]$  [13],  $(Ph_4P)_2[V(dmit)_3]$  [14],  $(ET)_3[V(dmit)_3]_2$  и  $(TMTSF)_3[V(dmit)_3]_2$  [20]. В данной работе мы приводим модифицированную методику синтеза трис-хелатного комплекса V(IV)  $(TBA)_2[V(dmit)_3]$ , по которой удалось получить пригодные для PCA кристаллы. В работе также обсуждаются кристаллическая структура и ЭПР спектры полученного соединения в растворе и для поликристаллического образца.

## ЭКСПЕРИМЕНТАЛЬНАЯ ЧАСТЬ

**Реактивы и оборудование.** Все эксперименты проводили на воздухе. Комплекс  $(TBA)_2[Zn(dmit)_2]$  получали по известной методике [22].  $VCl_3$  является коммерчески доступным. Растворители  $CH_2Cl_2$  и  $CH_3CN$  очищали перегонкой над  $P_2O_5$ , а  $C_6H_{14}$  — перегонкой над Na.

ИК спектр в области 4000—400  $cm^{-1}$  записывали на спектрометре Scimitar FTS 2000 в таблетке KBr. Электроспрей масс-спектры были получены на жидкостном хроматографе — масс-спектрометре фирмы Agilent (6130 Quadrupole MS, 1260 infinity LC). Анализ проводили в диапазоне 300—3000 а.е.м., в качестве источника ионизации использовали электроспрей ESI. В качестве подвижной фазы использовали ацетонитрил марки ОСЧ (скорость подачи 0,4 мл/мин). Температура газа-осушителя 250 °С; скорость потока газа-осушителя 5 л/мин; давление на распылителе 60 psig (фунты на кв. дюйм); напряжение на капилляре 2000 В. При анализе вводили 5 мл раствора анализируемого соединения с концентрацией порядка 10—4 г/мл в подвижную фазу. Время записи хроматограммы по общему ионному току 5 мин. ЭПР спектры снимались на ЭПР спектрометре фирмы Varian E-109 в X-диапазоне частот при температуре 77 и 300 К.

**Синтез  $(TBA)_2[V(dmit)_3]$  (I).** К смеси  $VCl_3$  (84 мг, 0,53 ммоль) и  $(TBA)_2[Zn(dmit)_2]$  (500 мг, 0,53 ммоль) добавили 18 мл  $CH_3CN$ . Полученную суспензию красно-коричневого цвета перемешивали при комнатной температуре в течение 3 ч, при этом цвет раствора изменился на зеленый. Раствор ярко-зеленого цвета профильтровали от небольшого количества осадка и упарили в вакууме; остаток растворили в 7 мл  $CH_2Cl_2$ . Кристаллы, пригодные для рентгеноструктурного анализа, были получены путем насаивания гексана на раствор в  $CH_2Cl_2$ . Образовавшиеся кристаллы промывали гексаном и диэтиловым эфиром и сушили на воздухе. Выход монокристаллического продукта составил 20 %.

ИК (KBr,  $\nu$ ,  $cm^{-1}$ ): 2962 оч. с., 2874 с., 1650 сл., 1484 с., 1382 ср., 1244 ср., 1152 сл., 1065 сл., 998 с., 883 ср., 799 сл., 737 сл., 600 ср.

Электроспрей масс-спектр (—,  $CH_3CN$ ):  $m/z = 638,5$  ( $[M]^+$ ).

Основные длины связей ( $\text{\AA}$ ), невалентные контакты ( $\text{\AA}$ ) и углы (град.) в анионе  $[\text{V}(\text{dmit})_3]^{2-}$

| Связь  |           | Невалентные контакты |           | Угол      |            | транс-Угол |            |
|--------|-----------|----------------------|-----------|-----------|------------|------------|------------|
| V—S4   | 2,3754(1) | S4...S5              | 3,1881(2) | S4—V—S5   | 83,959(3)  | S5—V—S7    | 166,267(3) |
| V—S5   | 2,3910(1) | S4...S6              | 3,6123(2) | S6—V—S7   | 85,371(2)  | S4—V—S12   | 163,965(5) |
| V—S6   | 2,3752(1) | S4...S7              | 3,1680(2) | S11—V—S12 | 86,090(3)  | S6—V—S11   | 161,623(3) |
| V—S7   | 2,3827(1) | S4...S11             | 3,4972(2) | S4—C3—C2  | 122,174(4) |            |            |
| V—S11  | 2,3852(1) | S5...S6              | 3,4029(2) | S5—C2—C3  | 122,803(6) |            |            |
| V—S12  | 2,3686(1) | S5...S11             | 3,7292(3) | S6—C4—C5  | 123,386(4) |            |            |
| C2—S5  | 1,7337(1) | S5...S12             | 3,0683(2) | S7—C5—C4  | 121,509(4) |            |            |
| C3—S4  | 1,7095(1) | S6...S12             | 3,1837(2) | S11—C7—C8 | 123,352(5) |            |            |
| C4—S6  | 1,6975(1) | S6...S7              | 3,2257(3) | S12—C8—C7 | 122,579(4) |            |            |
| C5—S7  | 1,7489(1) | S7...S11             | 3,1866(2) |           |            |            |            |
| C7—S11 | 1,7522(1) | S7...S12             | 3,9501(2) |           |            |            |            |
| C8—S12 | 1,7001(1) | S11...S12            | 3,2448(2) |           |            |            |            |

**Рентгеноструктурный анализ.** Строение соединения  $(\text{TBA})_2[\text{V}(\text{dmit})_3]$  установлено методом рентгеноструктурного анализа монокристалла. Все измерения проводили по стандартной методике на дифрактометре Bruker X8 Apex при температуре  $T = 296 \text{ K}$  ( $\text{MoK}\alpha$ ,  $\lambda = 0,71073 \text{ \AA}$ ). Интенсивности отражений измерены методом  $\theta$  и  $\omega$  сканирования узких ( $0,5^\circ$ ) фреймов до  $2\theta = 20,8^\circ$ . Поглощение учтено эмпирически по программе SADABS [23]. Структура расшифрована прямым методом и уточнена полноматричным МНК в программе ShelXle [24] с использованием алгоритма SHELX 2014/7 [25]. Код CCDC 1521387; орторомбическая сингония  $Pna2_1$ ; параметры кристаллической решетки  $a = 19,1287(16)$ ,  $b = 16,4215(13)$ ,  $c = 18,4320(13) \text{ \AA}$ ,  $V = 5789,9(8) \text{ \AA}^3$ ,  $Z = 4$ ;  $F(000) = 2380$ ;  $\mu = 0,74 \text{ мм}^{-1}$ ; размеры кристалла  $0,20 \times 0,01 \times 0,01 \text{ мм}$ ;  $T_{\min} = 0,593$ ,  $T_{\max} = 0,745$ ; число измерений, независимых и наблюдаемых [ $I > 2\sigma(I)$ ] отражений 17778, 5822, 3501;  $R_{\text{int}} = 0,119$ ;  $(\sin\theta/\lambda)_{\max} = 0,500 \text{ \AA}^{-1}$ ; диапазон  $h, k, l$ :  $-19 \leq h \leq 15$ ,  $-16 \leq k \leq 13$ ,  $-18 \leq l \leq 17$ ;  $R[F^2 > 2\sigma(F^2)] = 0,062$ ,  $wR(F^2) = 0,169$ ,  $S = 0,98$ ; число независимых отражений 5822, уточняемых параметров 527, ограничений 1; весовая схема  $w = 1/[\sigma^2(F_0^2) + (0,0791P)^2]$ , где  $P = (F_0^2 + 2F_c^2)/3$ ;  $\Delta\rho_{\max} = 0,51 \text{ e/\AA}^3$ ,  $\Delta\rho_{\min} = -0,37 \text{ e/\AA}^3$ ; параметр абсолютной структуры 0,01(6). В кристалле наблюдается ориентационное разупорядочение терминальных С и S атомов одного из координированных лигандов  $\text{C}_3\text{S}_5^{2-}$ . Кроме того, наблюдается ориентационное разупорядочение терминальных метильных групп катионов ТВА. Атомы водорода уточнялись в геометрически рассчитанных позициях только для атомов углерода с полной занятостью. Основные длины связей и углы приведены в таблице.

## РЕЗУЛЬТАТЫ И ИХ ОБСУЖДЕНИЕ

Комплекс состава  $(\text{TBA})_2[\text{V}(\text{dmit})_3]$  был получен взаимодействием трихлорида ванадия с  $(\text{TBA})_2[\text{Zn}(\text{dmit})_2]$  в  $\text{CH}_3\text{CN}$  на воздухе при комнатной температуре по слегка модифицированной методике [13]. Поликристаллический продукт зеленого цвета выделен из смеси  $\text{CH}_2\text{Cl}_2/\text{гексан}$  с выходом 20%. Альтернативная методика синтеза данного соединения заключается в использовании 4,5-добензоилтио-1,3-дитиол-2-тиона, который гидролизует в присутствии  $\text{NaOMe}$  в метаноле, в качестве источника лиганда  $\text{dmit}^{2-}$  [12]. При добавлении к этому раствору сначала  $\text{VCl}_3$  (соотношение  $\text{V/dmit} = 1/3$ ), а затем  $\text{TBAVr}$  образуется поликристаллический  $(\text{TBA})_2[\text{V}(\text{dmit})_3]$  с выходом 59%.

Электроспрей масс-спектр раствора комплекса в  $\text{CH}_3\text{CN}$  показывает наличие одного пика при  $m/z = 638,5$ , соответствующего по массе и изотопному распределению псевдомолекулярному иону  $[\text{V}(\text{dmit})_3]^-$ . ИК спектр показывает наличие характерных полос колебаний связей  $\text{C}=\text{C}$  ( $1484 \text{ см}^{-1}$ ),  $\text{C}=\text{S}$  ( $1065 \text{ см}^{-1}$ ),  $\text{C}-\text{S}$  ( $998 \text{ см}^{-1}$ ), что хорошо согласуется с известными данными для комплексов с  $\text{dmit}^{2-}$  [12, 22].

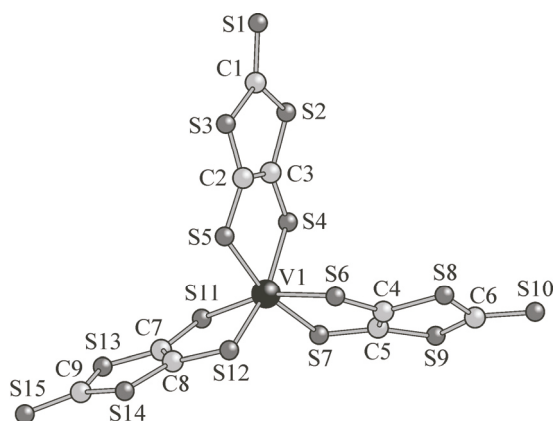


Рис. 2. Строение комплексного аниона  $[V(dmit)_3]^{2-}$

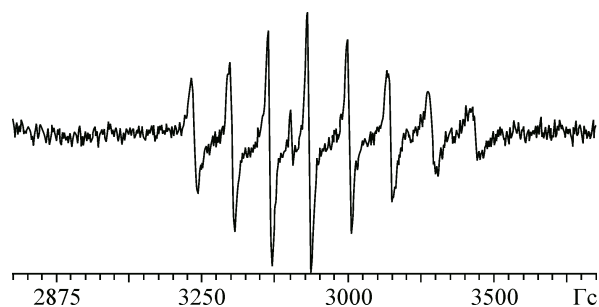


Рис. 3. Спектр ЭПР комплекса  $(Bu_4N)_2[V(dmit)_3]$  (I) в растворе при комнатной температуре

Степень окисления ванадия в данном соединении 4+, что подтверждается спектрами ЭПР, в которых наблюдается характерный сигнал, состоящий из восьми линий (см. ниже).

Пригодные для рентгеноструктурного анализа кристаллы были получены путем наслаивания гексана на раствор I в  $CH_2Cl_2$ . Строение комплексного аниона  $[V(dmit)_3]^{2-}$  представлено на рис. 2. Наиболее важные межатомные расстояния и углы аниона  $[V(dmit)_3]^{2-}$  приведены в таблице. Среднее значение для *транс*-углов S—V—S ( $S_4$ —V— $S_{12}$ ,  $S_5$ —V— $S_7$ ,  $S_6$ —V— $S_{11}$ ) в узле  $VS_6$  составляет  $163,9^\circ$ , что меньше значения  $175,1^\circ$ , рассчитанного для правильного октаэдра, образованного жесткими хелатными лигандами со средним значением *цис*-угла S—V—S  $85,1^\circ$  [9], но значительно меньше значения  $136^\circ$ , характерного для тригональной призмы. Таким образом, ядро  $VS_6$  имеет искаженную октаэдрическую геометрию. Искаженная октаэдрическая геометрия также наблюдается в комплексах  $(NMP)_2[V(dmit)_3]$  (*транс*-угол S—V—S  $161,8^\circ$ ) [13],  $(Ph_4P)_2[V(dmit)_3]$  (S—V—S  $164,6^\circ$ ) [14]. Эти величины близки между собой, что свидетельствует о том, что геометрия узла  $VS_6$  определяется внутренними причинами, а не эффектами упаковки. Шесть донорных атомов серы расположены вокруг атома ванадия на среднем расстоянии  $2,379 \text{ \AA}$ , что хорошо согласуется с литературными данными для комплексов  $(NMP)_2[V(dmit)_3]$  ( $d(V-S) = 2,378 \text{ \AA}$ ) [13],  $(Ph_4P)_2[V(dmit)_3]$  ( $d(V-S) = 2,386 \text{ \AA}$ ) [14].

В структуре  $(TBA)_2[V(dmit)_3]$  отсутствуют межмолекулярные невалентные взаимодействия S...S. Расстояния между атомами серы соседних молекул составляют около  $4 \text{ \AA}$ , в отличие от комплекса  $(NMP)_2[V(dmit)_3]$ , где аналогичные расстояния варьируют в пределах  $3,037(2)$ — $3,769(2) \text{ \AA}$  [13]. Внутримолекулярные невалентные контакты S...S варьируют в пределах  $3,068(2)$ — $3,950(2) \text{ \AA}$ .

Для I в растворе  $CH_2Cl_2$  наблюдается интенсивный сигнал в спектре ЭПР. Спектр при комнатной температуре обусловлен парамагнитным центром  $V^{IV}$  с  $S = 1/2$  (рис. 3) и состоит из восьми линий сверхтонкой структуры (СТС) за счет взаимодействия неспаренного электрона со спином ядра изотопа ванадия  $^{51}V$  ( $I = 7/2$  с естественным содержанием 99,75 %). Изотропные значения *g*-фактора и параметров сверхтонкого взаимодействия (СТВ) для комплекса в растворе при комнатной температуре, рассчитанные из спектра, приведенного на рис. 3, равны  $g_{sol} = 1,980$  и  $A(V)_{sol} = 65 \text{ Гс}$ . Значение константы сверхтонкого взаимодействия в растворе оценивали по расстоянию между линиями переходов  $\langle +1/2 \rangle - \langle +3/1 \rangle$  и  $\langle -1/2 \rangle - \langle -3/2 \rangle$ . Для остальных переходов из-за неполного усреднения анизотропии параметров спектра ЭПР  $(Bu_4N)_2[V(dmit)_3]$  в растворе наблюдается смещение переходов и уширение линий спектра ЭПР.

Спектр ЭПР поликристаллического образца, приведенный на рис. 4, имеет явно неаксиальный характер и может быть описан спин-гамильтонианом

$$\hat{H} = g_{xx}\beta H_x S_x + g_{yy}\beta H_y S_y + g_{zz}\beta H_z S_z + A_{xx}I_x S_x + A_{yy}I_y S_y + A_{zz}I_z S_z$$

с параметрами:  $g_1 = 1,999$ ,  $g_2 = 1,984$ ,  $g_3 = 1,987$ ,  $A_1 = 19$ ,  $A_2 = 95$  и  $A_3 = 81 \text{ Гс}$ .

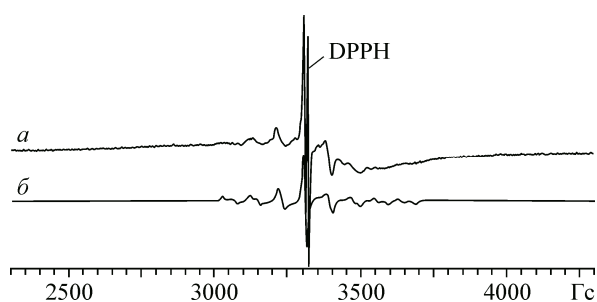


Рис. 4. Экспериментальный (а) и моделированный (б) спектры ЭПР  $V^{4+}$  для поликристаллического образца  $(Bu_4N)_2[V(dmit)_3]$  с параметрами:  $g_1 = 1,999$ ,  $g_2 = 1,984$ ,  $g_3 = 1,987$ ,  $A_1 = 19$ ,  $A_2 = 95$  и  $A_3 = 81$  Гс

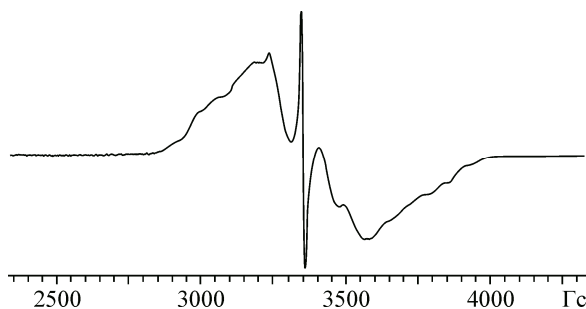


Рис. 5. Спектр ЭПР свежеприготовленного поликристаллического образца  $(Bu_4N)_2[V(dmit)_3]$  при комнатной температуре

Квадрупольные взаимодействия не учитывали, поскольку их ожидаемый вклад невелик.

В спектре ЭПР поликристаллического образца между переходами СТВ для проекций  $+1/2$  и  $-1/2$  наблюдаются линии от СТС для компонент спектра  $g_1$  и  $A_1$ . Расстояние между линиями соответствует  $A_1 = 19$  Гс. Учитывая значение константы СТВ для раствора ( $A_0 = 65$  Гс), были рассчитаны вклады от контактного (изотропного) взаимодействия и дипольного (анизотропного) сверхтонкого взаимодействия для комплекса  $(Bu_4N)_2[V(dmit)_3]$  в кристаллическом состоянии. В отличие от данных для близких по структуре комплексов ванадия  $(Bu_4N)_2[V(dmt)_3]$  и  $[V(mnt)]^{2-}$ , при константе СТВ в растворе  $A(V) = 65$  Гс все три константы СТС для поликристаллического образца должны быть одного знака. Значения  $A$  изотропной и анизотропной части СТВ для ванадия в структуре комплекса равны соответственно:  $A(V)_{из} = (A_1 + A_2 + A_3)/3 = 195/3 = 65$  Гс, а  $A(V)_{аниз} = -23$  Гс. Причем среднее значение константы СТС  $A(V)_{из} = 65$  Гс совпадает с изотропной константой СТС для раствора ( $A_0 = 65$  Гс).

В работах [12] и [26] приводятся данные ЭПР для растворов близких комплексов ванадия при комнатной температуре и для замороженных растворов. Но в этих случаях речь идет не о структурах комплексов, а только об их анионной части  $[V(dmit)_3]^{2-}$  и  $[V(dmt)_3]^{2-}$ , так как в растворе комплексы диссоциируют. Что касается данных ЭПР в растворе при комнатной температуре для комплекса  $(Bu_4N)_2[V(dmit)_3]$ , приведенных в работе [12], то они практически совпадают. Для нашего случая в растворе  $CH_2Cl_2$  параметры спектра ЭПР:  $A_0 = 65$  Гс и  $g = 1,980$ , данные в статье для раствора в ацетоне:  $A_0 = 63$  Гс и  $g = 1,979$ .

Следует отметить, что спектр ЭПР свеже синтезированного поликристаллического образца (рис. 5) отличается от спектра ЭПР, описанного выше, снятого для того же самого комплекса, но синтезированного более года назад. Отличие состоит в том, что в спектре на рис. 5 наблюдается широкая слабо структурированная линия, что в большей степени соответствует наличию различных коллективных взаимодействий в структуре образца. Длительное хранение образца на воздухе, вероятно, приводит к его частичному окислению и образованию состояний ванадия  $V^{5+}$ . Это фактически приводит к разбавлению магнитной системы, исчезновению широкой линии в спектре ЭПР и лучшему разрешению переходов (см. спектр на рис. 4).

#### ЗАКЛЮЧЕНИЕ

Моноядерный комплекс ванадия(IV) состава  $(Bu_4N)_2[V(dmit)_3]$  получен в виде кристаллического образца с выходом 20 %. Кристаллическая структура  $(Bu_4N)_2[V(dmit)_3]$  определена впервые. Комплекс имеет искаженное октаэдрическое строение. Записаны спектры ЭПР комплекса в растворе и поликристаллического образца. Найденные параметры спектра ЭПР  $(Bu_4N)_2[V(dmit)_3]$  в растворе  $CH_2Cl_2$  хорошо согласуются с литературными данными для  $(Bu_4N)_2[V(dmit)_3]$  в растворе ацетона. Для поликристаллического образца впервые удалось записать спектр ЭПР хорошего разрешения.

## СПИСОК ЛИТЕРАТУРЫ

1. King R.B. // *Inorg. Chem.* – 1963. – **2**, N 3. – P. 641 – 642.
2. (a) Schrauzer G.N., Mayweg V., Finck H.W., Muller-Westerhoff U., Heinrich W. // *Angew. Chemie.* – 1964. – **76**, N 8. – P. 345 – 345. (b) Schrauzer G.N., Finck H.W., Mayweg V. // *Angew. Chemie.* – 1964. – **76**, N 16. – P. 715 – 715.
3. Hoyer E., Schroth W. // *Chem. Ind.* – 1965. – P. 652.
4. Alcacer L., Novais H. Extended linear chain compounds. – Springer US, 1983. – P. 319 – 351.
5. Underhill A.E., Tonge J.S., Clemenson P.L., Wang H.H., Williams J.M. // *Mol. Cryst. Liquid Cryst.* – 1985. – **125**, N 1. – P. 439 – 446.
6. (a) Kato R., Mori T., Kobayashi A., Sasaki Y., Kobayashi H. // *Chem. Lett.* – 1984. – N 1. – P. 1 – 4. (b) Kato R., Kobayashi A., Kobayashi A., Sasaki Y. // *Chem. Lett.* – 1985. – N 1. – P. 131 – 134. (c) Kobayashi H., Kato R., Kobayashi A., Sasaki Y. // *Chem. Lett.* – 1985. – N 2. – P. 191 – 194.
7. (a) Bousseau M., Valade L., Bruniquel M.F., Cassoux P., Garbauskas M., Interrante L., Kasper J. // *Nouv. J. Chim.* – 1984. – **8**. – P. 3 – 6. (b) Valade L., Legros J.P., Bousseau M., Cassoux P., Garbauskas M., Interrante L.V. // *J. Chem. Soc., Dalton Trans.* – 1985. – N 4. – P. 783 – 794. (c) Bousseau M., Valade L., Legros J.P., Cassoux P., Garbauskas M., Interrante L.V. // *J. Am. Chem. Soc.* – 1986. – **108**, N 8. – P. 1908 – 1916.
8. (a) Heuer W.B., Hoffman B.M. // *J. Chem. Soc., Chem. Commun.* – 1986. – N 1. – P. 174 – 175. (b) Heuer W.B., Squattrito P.J., Hoffman B.M., Ibers J.A. // *J. Am. Chem. Soc.* – 1988. – **110**, N 3. – P. 792 – 803. (c) Heuer W.B., True A.E., Swepston P.N., Hoffman B.M. // *Inorg. Chem.* – 1988. – **27**, N 8. – P. 1474 – 1482. (d) Whittaker A.K., Stein P.C., Bernier P., Heuer W.B., Hoffman B.M. // *J. Phys. Chem.* – 1989. – **93**, N 8. – P. 3038 – 3041.
9. Cowie M., Bennett M.J. // *Inorg. Chem.* – 1976. – **15**, N 7. – P. 1595 – 1603.
10. Karlin K.D. Progress in Inorganic Chemistry. – John Wiley & Sons, 2004. – **52**.
11. Olk R.M., Olk B., Dietzsch W., Kirmse R., Hoyer E. // *Coord. Chem. Rev.* – 1992. – **117**. – P. 99 – 131.
12. Olk R.M., Dietzsch W., Kirmse R., Stach J., Hoyer E., Golic L. // *Inorg. Chim. Acta.* – 1987. – **128**, N 2. – P. 251 – 259.
13. Matsubayashi G., Akiba K., Tanaka T. // *Inorg. Chem.* – 1988. – **27**, N 26. – P. 4744 – 4749.
14. Atzori M., Morra E., Tesi L., Albino A., Chiesa M., Sorace L., Sessoli R. // *J. Am. Chem. Soc.* – 2016. – **138**, N 35. – P. 11234 – 11244.
15. Gushchin A.L., Llusar R., Vicent C., Abramov P.A., Gómez-García C.J. // *Eur. J. Inorg. Chem.* – 2013. – **2013**, N 14. – P. 2615 – 2622.
16. Llusar R., Uriel S., Vicent C., Clemente-Juan J.M., Coronado E., Gómez-García C.J. et al. // *J. Am. Chem. Soc.* – 2004. – **126**, N 38. – P. 12076 – 12083.
17. Llusar R., Vicent C. // *Coord. Chem. Rev.* – 2010. – **254**, N 13. – P. 1534 – 1548.
18. Гущин А.Л., Абрамов П.А., Пересыпкина Е.В., Соколов М.Н. // *Коорд. химия.* – 2013. – **39**, № 38. – С. 8 – 13.
19. McCleverty J.A. // *Prog. Inorg. Chem.* – 1968. – **10**. – P. 49 – 221.
20. Broderick W.E., McGhee E.M., Godfrey M.R., Hoffman B.M., Ibers J.A. // *Inorg. Chem.* – 1989. – **28**, N 15. – P. 2902 – 2904.
21. Akiba K., Matsubayashi G.E., Tanaka T. // *Inorg. Chim. Acta.* – 1989. – **165**, N 2. – P. 245 – 248.
22. Steimecke G., Sieler H.J., Kirmse R., Hoyer E. // *Phosphorus and Sulfur and the Related Elements.* – 1979. – **7**, N 1. – P. 49 – 55.
23. Sheldrick G.M. SADABS, Bruker AXS. – Germany, University of Goettingen, 1990—2007.
24. Hübschle C.B., Sheldrick G.M., Dittrich B. // *J. Appl. Cryst.* – 2011. – **44**, N 6. – P. 1281 – 1284.
25. Sheldrick G.M. // *Acta Crystallogr. Sect. C: Struct. Chem.* – 2015. – **71**. – P. 3 – 8.
26. Kwik W.L., Stiefel E.I. // *Inorg. Chem.* – 1973. – **12**, N 10. – P. 2337 – 2342.